

## FRETING

### FRETTING

Jože Vižintin, Mitjan Kalin

Center za tribologijo in tehnično diagnostiko, Fakulteta za strojništvo, Univerza v Ljubljani, Bogišičeva 8, 1000 Ljubljana

Prejem rokopisa - received: 1998-11-10; sprejem za objavo - accepted for publications: 1999-01-25

Ena izmed oblik obrabe, ki znatno zmanjšuje trajnost strojnih delov, je tudi fretting obraba. Fretting je delovanje, ki povzroča poškodbo, ko se dve telesi v kontaktu relativno gibljet z majhno amplitudo pomika v tangentni smeri. Obstajajo tri osnovne oblike frettinga poškodb, to so: fretting korozija, fretting obraba in fretting utrujanje. Vendar se v zadnjih letih uporablja za opis poškodb predvsem fretting utrujanje in fretting obraba, predvsem v povezavi z različnimi fretting režimi, ki opisujejo razmerje med cono mirovanja in zdrsa v kontaktu in s tem definirano poškodbo. Fretting obraba in fretting utrujanje nastajata praktično v vseh strojih in lahko povzročita dokončno poškodbo tudi na sicer zelo zmogljivih komponentah. Znano je, da število fretting poškodb, v nasprotju z drugimi oblikami obrabe, v zadnjih desetletjih ne upada, četudi je bila izvedena vrsta raziskav na tem področju. Seznam možnih poškodb pri različnih strojih je seveda zelo dolg, vendar ga lahko skrčimo na nekaj značilnih primerov, kot so ležaji, sklopke in različni spoji. Glavni vzroki za slabo poznanje frettinga in s tem tudi njegovo odpravljanje so v kompleksnosti samega procesa, različnih vplivih kontaktnih razmer, številnih materialih in okoliških razmerah. Sedaj potekajo glavne raziskave na področju izpopolnjevanja že obstoječih kriterijev pri določevanju poškodb fretting utrujanja, njegovem modeliranju, napovedovanju in preprečevanju. Na drugi strani pa obstoji tudi obsežna raziskovalna aktivnost na področju fretting obrabe in iskanju boljših meril za določitev prehoda med fretting obrabo in fretting utrujanjem.

Ključne besede: fretting, mehanika, fretting režimi, fretting sheme, ležaji, keramika

One of the wear forms which significantly limits the operating life of various machine components and structures is also fretting wear. Fretting is the action which causes fretting damage when two contacting bodies are subjected to a relative oscillatory tangential motion of small displacement amplitude. There exist three main forms of fretting and related damages, i.e. fretting corrosion, fretting wear and fretting fatigue. However, in recent years fretting wear and fretting fatigue are mostly used for defining the fretting damage, primarily in connection with specific fretting regimes, which describe the relation between the slip and stick zones in the contact and thus the resultant wear form. Fretting wear and fretting fatigue are present in almost all machinery and are the cause of total failure of some otherwise robust components. Survey reveals that, unlike other forms of wear, the incidence of fretting problems in machinery has not declined over the past decades, inspite of many years of recognizing and studying fretting damage. The list of potential fretting damage situations is, of course, very long but can be reduced to the three characteristic situations: bearings, couplings, and joints. The main reasons for the lack of a more stringent definition of fretting and its better prevention are the complexity of the process itself, the effects of the prevailing contact conditions, the materials in contact and the surrounding environment. Investigations are nowadays oriented on the improvement of the already established criterias for the fretting fatigue damage, its modelling, prediction and consequently prevention. On the other hand, strong research activities are also in the field of fretting wear and finding better criterias to distinguish the transition between the fretting wear and fatigue.

Key words: fretting, mechanics, fretting regime, fretting maps, bearings, ceramics

## 1 UVOD

V literaturi je najpogostejša definicija, ki pravi, da je "fretting delovanje, ki povzroča fretting poškodbo, ko sta dve telesi v kontaktu izpostavljeni medsebojnemu relativnemu izmeničnemu gibanju z majhnimi amplitudami v tangentni smeri"<sup>1,2</sup>. Tako tangencialno gibanje se po splošno prizveti terminologiji imenuje tudi "zdrs". V tej formulaciji pa razlikujemo tri osnovne oblike frettinga in s tem povezane poškodbe:

- *fretting korozija* je oblika fretting poškodbe, kjer so nastajajoči obrabni delci kemijski reakcijski produkti elementov tribološkega kontakta<sup>3</sup>
- *fretting obraba* opisuje vsakršno obrabo ali poškodbo površine, ki je posledica fretting procesa<sup>1,3</sup>
- *fretting utrujanje* je utrujanje materialov v kontaktu zaradi cikličnih sprememb napetosti v fretting razmerah<sup>2</sup>.

V zadnjih letih, ko postaja razumevanje fretting procesa popolnejše, se vse bolj uporablja samo izraza fretting utrujanje in fretting obraba, in sicer predvsem v povezavi s posameznimi režimi<sup>4-7</sup> fretting procesa. Prob-

lem poimenovanja posameznih oblik frettinga izhaja predvsem iz pogosto težko določljive ločnice med njimi ter iz sočasnega obstoja več pojavnih oblik hkrati<sup>1,8,9</sup>.

## 2 MEHANIKA FRETINGA

Za razumevanje mehanike frettinga je v tem prispevku podrobnejše prikazan najpreprostejši elastični model<sup>10,11</sup>, ki temelji na Hertzovi elastični teoriji<sup>12</sup>. Zaradi jasno definiranega napetostno-deformacijskega stanja je v modelu obravnavan kontakt idealno gladke krogle z ravno in idealno gladko ploskvijo. Porazdelitev normalnega tlaka po kontaktni površini  $p(r)$  v obliki kroga z radijem  $a$  se lahko zapiše v odvisnosti od razdalje iz središča  $r$  v obliki:

$$p(r) = \frac{3F_N}{2\pi a^2} \sqrt{1 - \frac{r^2}{a^2}} \quad (1)$$

Pri tem je  $F_N$  sila, pravokotna na kontaktno površino. Če je kontakt obremenjen sočasno še s tangencialno silo  $F_T$ , se pri tem vnese na površino tangencialno napetost

$\tau(r)$ , katere porazdelitev je definiral Mindlin<sup>13</sup> z naslednjo enačbo:

$$\tau(r) = \frac{F_T}{2\pi a \sqrt{a^2 - r^2}} \quad (2)$$

Iz enačbe (2) je razvidno, da ima tangencialna napetost singularno točko na zunanjem robu kontakta ( $r=a$ ). Iz izvajanja sledi, da nastane zunaj mejnega kroga z radijem  $r=a' \leq a$  zdrs.

$$a' = a \sqrt[3]{1 - \frac{F_T}{\mu F_N}} \quad (3)$$

Pri tem je  $\mu$  koeficient trenja. To pomeni, da ima pri tangencialni sili  $F_T < \mu F_N$  kontaktna površina v svojem srednjem delu krog z radijem  $a'$ , katerega površina miruje in je v t.i.m. stik področju, ter zunanjji del površine v obliki kolobarja, ki zdrsute.

Elastična deformacija v kontaktu krogle in ploskve povzroči v tangentni smeri relativni premik  $\delta$  središča krogle proti nepomični točki na ploskvi, daleč stran od kontaktne površine, v velikosti:

$$\delta = \frac{3k\mu}{2} \sqrt[3]{\frac{F_N^2}{E^2 R} \left[ 1 - \sqrt[3]{\left( 1 - \frac{F_T}{\mu F_N} \right)^2} \right]} \quad (4)$$

$k$  je materialna konstanta,  $E$  modul elastičnosti in  $R$  ekvivalentni radij.

Z uvajanjem tangencialne sile v kontakt prične zdrs na zunanjem robu kontaktne površine in se z večanjem tangencialne sile širi v obliki kolobarja proti središču kontaktnega kroga. Ko velikost tangencialne sile doseže pogoj  $F_T = \mu F_N$ , se v skladu z enačbo (3) delni zdrs v kontaktu pretvori v popolni zdrs preko celotne kontaktne površine. Odgovarjajoči tangencialni premik se s tangencialno silo spreminja po enačbi (4) in je v vsakem trenutku, ko sta v kontaktu sočasno tangencialna in normalna sila, sestavljen iz elastične in zdrsne komponente.

Bolj splošen opis mehanike v freting kontaktu v primerjavi z elastičnim modelom pa sta razvila Odfalk in Vingsbo<sup>14</sup>. V elasto-plastičnem modelu sta predpostavila, da je skupni tangencialni pomik sestavljen iz treh komponent, poleg elastične in zdrsne še iz pomika zaradi plastične deformacije v freting kontaktu. Do le-te lahko pride zaradi plastične deformacije v dotikih vršičkov ter plastične deformacije samega osnovnega materiala v kontaktu. Področje mirovanja se navzven nadaljuje v kolobar, imenovan kolobar plastičnega tečenja, kjer je značilna predvsem plastična deformacija vršičkov. Tudi eksperimentalni rezultati so potrdili, da je ta teorija dober približek realnemu stanju.

### 3 FRETING REŽIMI

Povezavo kontaktnih področij z amplitudo pomika je prvi ugotovil Vingsbo<sup>4,6</sup>, ko je definiral različne freting režime.

#### 3.1 Režim mirovanja ( $a' \approx a$ )

Značilen je za najmanjše amplitudo pomikov. V procesu se energija skorajda ne izgublja, tako da prikaže diagram  $F_T = \delta$ , premico, **slika 2a**. Kontaktne pogoje določa elastična deformacija osnovnega materiala ter vršičkov v področju mirovanja preko celotnega kontaktnega kroga ( $a' \approx a$ ), **slika 3a**.

Poškodbe površine so minimalne in je zanje potrebno veliko število obremenitvenih ciklov, večje od  $10^6$ . Zaradi tega se ta režim včasih imenuje tudi "režim majhne freting poškodbe"<sup>4</sup>.

#### 3.2 Režim delnega zdrsa ( $0 < a' < a$ )

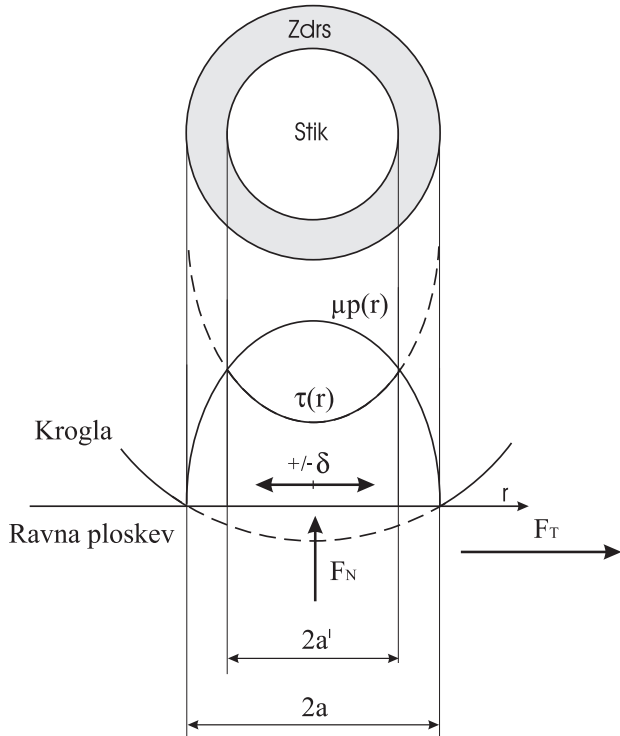
Z naraščajočo amplitudo pomika dobi plastična deformacija pomembnejšo vlogo. Pojavlji se tako v osnovnem materialu znotraj mirujočega področja, kot tudi v kolobarju tečenja, ki leži med področjema mirovanja in zdrsa. Istočasno pa se v obroču zdrsa pojavi relativni zdrs med elementoma v kontaktu in nastopi striženje-lom vršičkov tudi v tem področju. Diagram  $F_T - \delta$ , prikazan na **sliki 2b**, se spremeni v histerezno zanko, katere površina pomeni izgubo energije trenja zaradi zdrsa in plastifikacije. V kontaktu so značilne razmere z dvema področjema, **slika 3b**.

Najbolj značilna poškodba v tem režimu je freting utrujanje, ki se pojavlja na meji med obema področjema. Za to področje so značilne utrujenostne poškodbe. Vplivi obrabe so minimalni.

#### 3.3 Režim popolnega zdrsa ( $a'=0$ )

Ko amplituda pomika doseže kritično vrednost, da nastopijo razmere za  $F_T = \mu F_N$ , tedaj koeficient trenja pada z maksimalne vrednosti, kjer obstaja statični koeficient trenja, na nižjo vrednost, ki odgovarja kinetičnemu koeficientu trenja. Histerezna zanka se v diagramu  $F_T - \delta$ , deformira, kot prikazuje **slika 2c**, saj se koeficient trenja spremeni v vsaki polovici cikla enkrat, in sicer v trenutku, ko je pomik večji od kritične vrednosti in nastopijo razmere za popolni zdrs.

V skladu s **sliko 3c** je celotno področje kontakta podvrženo pogoju zdrsa, kar se z vidika poškodb v kontaktu izraža z znatno obrabo. Utruanje je zaustavljeno s prevladajočim obrabnim mehanizmom, zato se ta režim fretinga včasih imenuje tudi režim freting obrabe. V primeru prevladajoče oksidacije ga poimenujemo tudi freting korozija, čeprav se zaradi sočasnega pojavljanja več tipov obrabe raje uporablja kar freting obraba.



**Slika 1:** Elastični model kontakta pod vplivom normalne in tangencialne sile

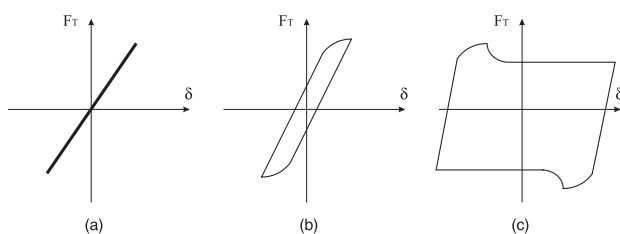
**Figure 1:** Elastic model for surface contact under normal load and tangential force

### 3.4 Režim izmeničnega drsenja

Z večanjem amplitude premika prehajajo razmere frettinga s popolnim zdrsom v izmenično drsenje. Mejni pogoji med obema režimoma so določeni z obrabnimi mehanizmi in večjo stopnjo obrabe, značilno za drsenje, ter oblikami drsne obrabe<sup>15,16</sup>.

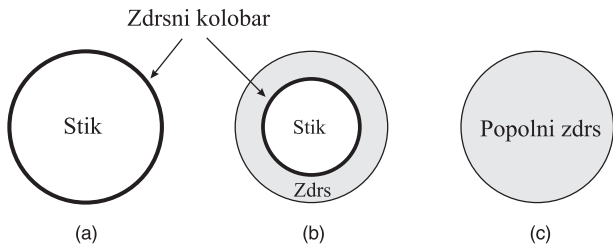
### 3.5 Mešani fretting režim

V nedavno objavljenih odkritijih<sup>7</sup> je predstavljen in predložen nov režim, imenovan mešani fretting režim. Pojavlja se tako v področju delnega kot popolnega zdrsa, zato so zanj značilne poškodbe utrujanja in obrabe. Rezultati kažejo, da povzroča prav ta režim največje poškodbe v fretting kontaktih. Karakterizira ga eliptična



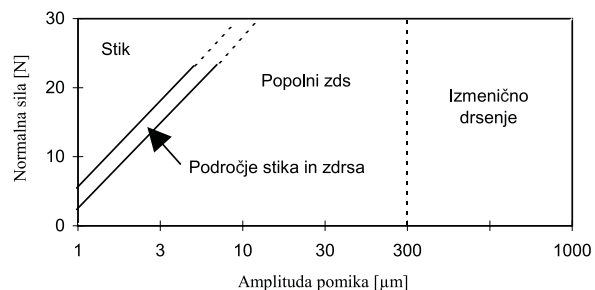
**Slika 2:** Diagrami  $F_T - \delta$  za različne fretting režime; (a) stik, (b) delni zdrs, (c) popolni zdrs

**Figure 2:**  $F_T - \delta$  plots for different fretting regimes; (a) stick, (b) partial slip, (c) gross slip



**Slika 3:** Shematski prikaz kontaktnih razmer pri različnih fretting režimih; (a) stik, (b) delni zdrs, (c) popolni zdrs

**Figure 3:** A schematic of the contact conditions in different fretting regimes; (a) stick, (b) partial slip (stick-slip), (c) gross slip



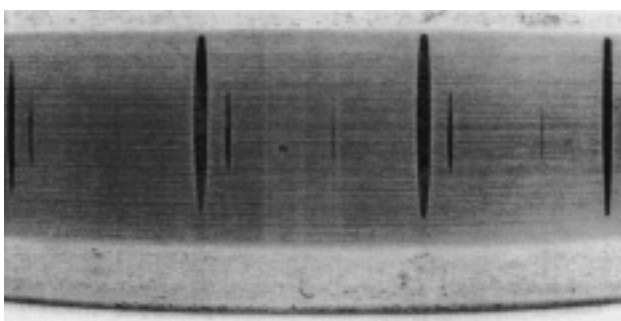
**Slika 4:** Fretting shema normalna sila - amplituda pomika<sup>4</sup>

**Figure 4:** Displacement amplitude - normal force fretting map<sup>4</sup>

oblika histerezne zanke. V mešanem režimu frettinga se lahko večkrat vzpostavijo razmere delnega ali popolnega zdrsa.

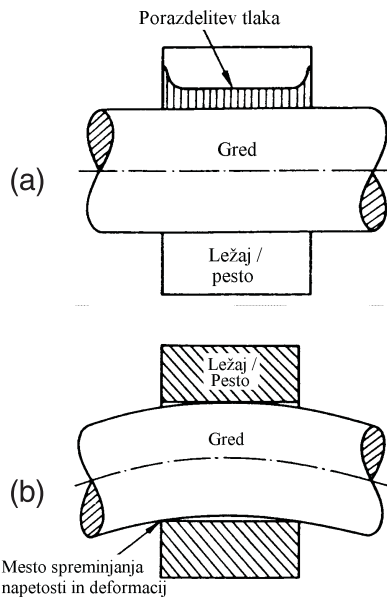
## 4 FRETING SCHEMES

V praksi je težko predvideti trajnostno dobo fretingu podvrženih različnih strojnih elementov, saj je le-ta odvisna od specifičnih delovnih in kontaktnih razmer. Vingsbo<sup>4</sup> pa je pokazal, da je možno iz eksperimentalnih podatkov na osnovi dinamičnih meritev tangencialne sile ter amplitude pomikov razlikovati oziroma razpoznati različne fretting režime, ki imajo vsak svojo značilno obliko poškodb in mehanizem njenega nastanka. Tako so nastale fretting sheme, to so diagrami, ki prikazujejo fretting režime kot funkcijo dveh spremenljivk z mejami, kjer naj bi nastal prehod med posameznimi režimi<sup>4</sup>.



**Slika 5:** Lažna Brinellova poškodba na tečini valjčnega ležaja

**Figure 5:** False brinelling damage on roller bearing race



**Slika 6:** (a) Porazdelitev tlaka pri tesnem nasedu, (b) vpliv obremenitve

**Figure 6:** (a) Pressure distribution in a press fit, (b) the effect of load

Glede na številne vplivne parametre je možno sestaviti več freting shem, npr. pomik-normalna sila, pomik-frekvenca, pomik-obraba itd. Še posebej uveljavljena je shema, ki prikazuje različne režime v odvisnosti od normalne sile in amplitude pomika, **slika 4**.

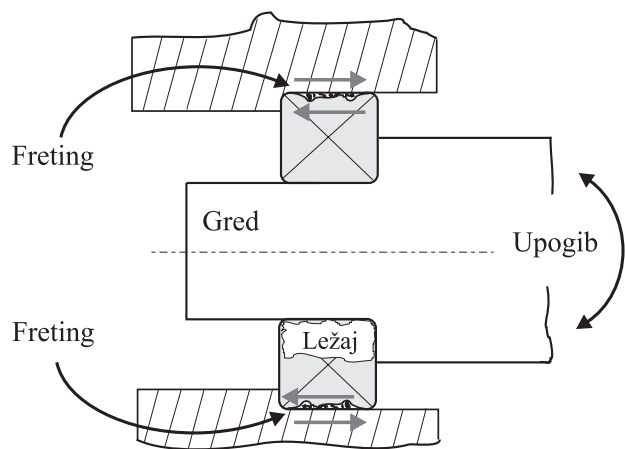
Freting sheme so torej namenjene predvsem za interpretacijo eksperimentalnih rezultatov ter določanje okvirnih delovnih razmer, kjer naj bi se ob upoštevanju določenega tribološkega sistema lahko izognili pojavi fretinga.

## 5 PRIMERI POJAVLJANJA FRETING POŠKODB

V številnih publikacijah so opisani primeri pojavljanja freting poškodb ali možnosti za njihov nastanek v praktično vsakem mehanskem spoju, ki omogoča "majhne" premike, tudi manjše od  $1\mu\text{m}$ . Če je vsaj ena površina v kontaktu podvržena še cikličnim obremenitvam, je verjetnost za nastanek freting utrjanja še večja. Seznam potencialnih freting poškodb je zato precej dolg, vendar ga lahko skrčimo na nekatere pomembnejše značilne strojne elemente, kot so sklopke, ležaji, kovice, različni spoji itd. V nadaljevanju sta podrobno opisana dva pomembnejša vzroki nastanka fretinga v primeru kotalnih ležajev.

### 5.1 Tečine kotalnih ležajev

Kroglični in valjčni ležaji, ki so vgrajeni zgolj za omogočanje majhnih izmeničnih premikov ali pa so v mirovanju podvrženi vibracijam, lahko utripijo precejšnje freting poškodbe v dotikih med kotalnimi elementi in tečinami, **slika 5**. Tovrstne poškodbe ležajev so lahko



**Slika 7:** Freting obraba v kontaktu med zunanjim obročem kotalnega ležaja in ohišjem, kjer nastaja akumulacija obrabnih delcev in izguba tesnosti kontakta

**Figure 7:** Fretting wear at a contact between the rolling bearing outer race and housing with a debris accumulation and a loss of interference fit

težava pri transportu strojev in naprav iz kraja proizvodnje na končno prodajno mesto, npr. cestni ali železniški prevoz avtomobilov.

### 5.2 Nased ležaja na gredi

Zelo pogosto mesto pojavljanja freting poškodb je površina prilega ležaja ali drugega pesta (zobnik, kolo) na gredi. Poškodba navadno izvira na robu kontakta, kjer so napetosti največje, **slika 6a**. Vzrok je lahko zunanja obremenitev, ki povzroči upogib gredi, kot je shematsko prikazano na **sliki 6b**. V dotiku se zaradi rotacije spreminja področje natezne in tlačne napetosti, ki je najbolj izrazito prav na robu, tako da na tem mestu prihaja do največjega relativnega premika med površinama, kar privede do poškodbe.

Drugi vzrok freting poškodbe v kontaktu ležaja in gredi pa so vibracije, ki delujejo na mirujoča dela v kontaktu. Pri kotalnem ležaju, ko se vrati notranji obroč, nastane lahko freting poškodba na zunanjem obroču, ki ima ohlapnejši ujem kot notranji in tako omogoča večje premike med površinama. Poškodba je na ležajih zelo pogosta in se izraža v nastajanju in akumulaciji obrabnih delcev, ki so pri jeklenih materialih rdečkaste barve, in v končni stopnji vodi do izgube tesnosti prilega, **slika 7**.

## 6 NAPOVED IN PREPREČEVANJE FRETINGA

Čeprav se freting že zelo dolgo raziskuje, razpoznavajo, odkriva in išče možne rešitve za njegovo odpravo, pa je pregled tega področja pokazal, da se primeri pojavljanja fretinga v praksi ne zmanjšujejo. Definiranje fretinga v smislu povezovanja delovnih razmer s posledično možnimi poškodbami pomeni velik napredok v zadnjih letih na področju njegovega razumevanja<sup>17-20</sup>. To pa je poleg razvoja same teorije

mehanike frettinga ter vplivov na nastanek in razvoj razpok zaradi fretting utrujanja<sup>21-24</sup> sedaj najintenzivnejša smer raziskav. Vse to vodi k izpopolnjevanju že uveljavljenih meril za nastanek in razvoj fretting utrujanja<sup>25-27</sup> ter v končni fazi k modeliranju, napovedovanju in s tem tudi preprečevanju fretting utrujanja.

Poleg raziskav utrujanja potekajo intenzivne raziskave tudi na področju fretting obrabe ter iskanje metod za natančnejšo določitev prehoda med obema vrstama poškodb. Vendar pa je pri fretting obrabi položaj precej drugačen, saj modeliranje v smislu analitičnega opisa mehanizmov in meril nastanka poškodb ter hitrosti, velikosti in drugih njihovih lastnosti ni možno. Vzrok za to je predvsem v izjemni odvisnosti obrabe od številnih specifičnih delovnih in kontaktnih razmer pa tudi nenehno uvajanje novih materialov v strojne elemente. V zadnjih letih se v uporabi uveljavlja npr. inženirska keramika. Uporaba le-te v sodobnih napravah hitro narašča, ker se njena kvaliteta in zanesljivost močno povečuje, hkrati pa se znižuje cena. To pomeni, da lahko v prihodnje pričakujemo večjo pojavnost frettinga med keramičnimi in jeklenimi komponentami, ki so pa še vedno najpogosteje v strojnih napravah. Poznanje obrabnih mehanizmov<sup>28-36</sup> v teh sistemih pa je ključnega pomena za odpravljanje in preprečevanje neželenih poškodb. Prav zato je eksperimentalno delo in sistematičnost raziskav na tem področju toliko pomembnejša za razpoznavanje različnih vplivov in odzivov v režimu fretting obrabe. Raziskave so torej usmerjene predvsem na določene primere uporabe, kjer se problemi fretting obrabe pojavljajo.

## 7 SKLEPI

- Fretting poškodba se pojavlja kot posledica fretting utrujanja in fretting obrabe, ki se med seboj dopolnjujeta in velikokrat delujeta tudi sočasno.
- Pojni fretting poškodb se kljub nenehnim raziskavam še vedno povečujejo. Večina teh poškodb se zgodi na značilnih strojnih elementih, kot so ležaji, sklopke, različni spoji in protiobrabni deli.
- Na področju utrujanja se odvijajo raziskave v smeri izpopolnjevanja obstoječih meril za iniciacijo utrujenostnih razpok ter posledično modeliranju in napovedovanju utrujanja.
- Na področju fretting obrabe se raziskave izvajajo za točno določeno aplikacijo z znanimi materiali ter delovnimi in okoliškimi razmerami.

## 8 LITERATURA

- <sup>1</sup> Waterhouse R. B., Fretting corrosion, Pergamon, Oxford, England, (1972) 3
- <sup>2</sup> Waterhouse R. B., Fretting Fatigue, *Int. Materials Reviews*, 37 (1992) 2, 77-97
- <sup>3</sup> Glossary of Terms and Definitions in the Field of Friction, Wear, and Lubrication, OECD Publications, Paris, (1969)
- <sup>4</sup> Vingsbo O., Soderbrg S., *Wear*, 126 (1988) 131-147
- <sup>5</sup> Vingsbo O., Fretting and contact fatigue studied with the aid of fretting maps, in: Standardization of Fretting Fatigue Test Methods and Equipment, ASTM STP 1159, M.H. Attia and R.B. Waterhouse, Eds., American Society for Testing and Materials, (1992) 49-59
- <sup>6</sup> Vingsbo O., J. Schöñ, *Wear*, 162-164 (1993) 347-356
- <sup>7</sup> Zhou Z. R., Vincent L., *Wear*, 181-183 (1995) 531-536
- <sup>8</sup> Bill R. C., *J. of Lubr. Technol.*, ASME Trans., 105, (1983) April, 230-238
- <sup>9</sup> Berthier Y., Vincent L., Godet M., *Tribology International*, 22 (1989) 4, 235-242
- <sup>10</sup> Johnson K. L., Contact Mechanics; London, New York, Sydney, Cambridge University Press, (1985) 26 in 230
- <sup>11</sup> Hills D. A., Nowell D., Sackfield A., Mechanics of elastic contacts, Butterworth Heinemann Ltd., (1993) strani: 111, 135, 260, 367, 456
- <sup>12</sup> Hertz H., On the Contact of Rigid Elastic Solids and on Hardness; Miscelaneous Papers, MacMillan and Co., London, (1896) 163-183
- <sup>13</sup> Mindlin R. D., *J. of Appl. Mech.*, 71 (1949) 259-268
- <sup>14</sup> Odfalk M., Vingsbo O., *Wear*, 157 (1992) 435-444
- <sup>15</sup> Nam P. Suh, "Tribophysics", Prentice-Hall, Englewood Cliffs, (1986)
- <sup>16</sup> Stachowiak G. W., Batchelor A. W., Engineering Tribology, Tribology series, 24, Elsevier, Amsterdam, (1993)
- <sup>17</sup> Foufry S., Kapsa P., Vincent L., *Wear*, 200 (1996) 186-205
- <sup>18</sup> Foufry S., P. Kapsa, L. Vincent, K. Dang Van, *Wear*, 195 (1996) 21-34
- <sup>19</sup> Petiot C., Vincent L., Dang Van K., Maouche N., Foulquier J., Journet B., *Wear*, 181-183 (1995) 101-111
- <sup>20</sup> Foufry S., Ruiz F., Kapsa P., Vincent L., *Tribotest* 3-1, September (1996) 23-44
- <sup>21</sup> Hills D. A., Mechanics of fretting fatigue, *Wear*, 175 (1994) 107-113
- <sup>22</sup> Szolwinski P. M., Farris T. N., *Wear*, 198 (1996) 93-107
- <sup>23</sup> Dang-Van K., Macro-micro approach in high-cycle multiaxial fatigue, in D.L. McDowell and R. Ellis (eds.), Advances in multiaxial fatigue, ASTM STP 1191, American Society for Testing and Materials, Philadelphia, (1993) 120-130
- <sup>24</sup> Fellows L. J., D. Nowell, D. A. Hills, *Wear*, 185 (1995) 235-238
- <sup>25</sup> Endo K., Goto H., *Wear*, 38 (1976) 311-324
- <sup>26</sup> Dang-Van K., Griveau B., Message O., On a new multiaxial fatigue limit criterion: theory and application, biaxial and multiaxial fatigue, in M.W. Brown and K. Miller (eds.) EGF Publication 3 (1982) 479-496
- <sup>27</sup> Ruiz C., Boddington P. H. B., Chen K. C., An investigation of fatigue and fretting in a dovetail joint, *Exp. Mech.*, 24 (1984) 3, 208-217
- <sup>28</sup> Vižintin J., Kalin M., Novak S., Dražič G., Ives L. K., Peterson M. B.; *Wear*, 192 (1996) 11-20
- <sup>29</sup> Kalin M., Vižintin J., Novak S., *J. Mat. Sci Eng. A. MSA220/1-2* (1996) 191-199
- <sup>30</sup> Novak S., Dražič G., Samardžija Z., Kalin M., Vižintin J., *J. Mat. Sci. Eng. A. MSA215/1-2* (1996) 125-133
- <sup>31</sup> Kalin M., Vižintin J., Novak S., *Tribologia, Finnish Journal of Tribology*, 15 (1996) 4, 42-60
- <sup>32</sup> Kalin M., Vižintin J., Novak S., Dražič G., *Wear*, 210/1-2 (1997) 27-38
- <sup>33</sup> Kalin M., Vižintin J., Use of equations for wear volume determination in fretting experiments, *In press at WEAR*, (1999)
- <sup>34</sup> Kalin M., Vižintin J., The influence of testing parameters on accuracy of equations for wear loss determination in fretting tests, *Proc. of the 97' International Symposium on Fretting*, Chengdu, P.R. China, November 13-14, (1997) 123-155
- <sup>35</sup> S. Novak, G. Dražič, M. Kalin, J. Vižintin, Interactions in silicon nitride ceramics vs. steel contact under fretting conditions, *In press at WEAR*, (1998)
- <sup>36</sup> M. Kalin, *Doctoral thesis*, Faculty of Mechanical Engineering, University of Ljubljana, Ljubljana, (1998)